

# نشریه علمی «مدیریت زنجیره تامین»

سال بیست و چهارم، شماره ۷۵، تابستان ۱۴۰۱؛ ص ۳۳-۱۳

علمی - پژوهشی

## مدل ترکیبی انتخاب تأمین‌کننده و تخصیص سفارش در شرایط عدم قطعیت تصادفی و حل با رویکرد بهینه‌سازی فازی استوار (مطالعه موردي: شرکت پشتیبانی اقلام عمومي ایثار)

حسینعلی حسنپور<sup>۱\*</sup>، حسین غفاری توران<sup>۲</sup>، مصطفی زارعی<sup>۳</sup>، علی محمدی<sup>۴</sup>

۱-۲- استادیار، ۳- دانشجوی دکتری، ۴- کارشناسی ارشد گروه مهندسی صنایع، دانشکده فنی و مهندسی، دانشگاه جامع امام حسین (ع)، تهران، ایران  
(دریافت: ۱۴۰۰/۰۶/۱۴، پذیرش: ۱۴۰۰/۱۱/۰۹)

### چکیده

هدف تحقیق ارائه یک مدل برنامه‌ریزی عدد صحیح غیرخطی دوهدفه شامل کمینه کردن هزینه‌های خرید و زمان تأخیر در تحویل و بیشینه کردن میزان تاب آوری برای بهینه‌سازی زنجیره تأمین اقلام عمومی به طوری که تمام پارامترهای توابع هدف و محدودیت‌ها غیرقطعی می‌باشد، است. برای حل مدل، ابتدا اوزان مناسب معیارهای مرتبط برای تولیدکنندگان از طریق روش تصمیم‌گیری چندمعیاره به دست آمده که این اوزان ورودی مدل ریاضی پیشنهادی می‌باشند. از آنجاکه این مسئله جزو مسائل بهینه‌سازی ترکیبی در خانواده مسائل NP-hard محسوب می‌شود، برای حل مدل از الگوریتم‌های تکاملی چنددهده NSGA-II و MOPSO استفاده شد. برای مقایسه نتایج حاصل از الگوریتم‌ها با کمک شاخص‌های مقایسه‌ای استفاده گردید. در این تحقیق برای تبدیل مدل فازی به مدل قطعی از برنامه‌ریزی محدودیت شانس امکانی استفاده شده که این روش دو مدل تخمین LAM و UAM را به طور مناسبی بر روی تغییرات بدینانه-خوبشینانه ناشی از تفاوت نگرش تصمیم‌گیرندگان فیت می‌کند. یافته‌های حاصل از مقایسه این الگوریتم‌ها بیانگر این امر است که در حالت‌های خوبشینانه، الگوریتم ژنتیک عملکرد بهتری داشته و در حالت‌های بدینانه، الگوریتم MOPSO عملکرد بهتری ارائه می‌دهد. به طور نمونه در زمان حل و معیار فاصله از نقطه ایدئال در تمام مسائل عملکرد بهتری نسبت به الگوریتم دیگر دارد.

واژه‌های کلیدی: زنجیره تأمین تاب آور، عدم قطعیت تصادفی، بهینه‌سازی فازی استوار، MOSPO، NSGA-II، شاخص‌های مقایسه‌ای

### ۱- مقدمه

طراحی شبکه زنجیره تأمین مورد توجه قرار گیرند از یکسو وقوع اختلالات احتمالی و آسیب‌های ناشی از آن و از سوی دیگر ماهیت غیرقطعی پارامترهای معمول کسب و کار [۲]. در زنجیره تأمین، مدیریت برگشتی در قالب لجستیک معکوس اعمال می‌شود. به دلایل مختلف، جریان مواد و کالاهای در خلاف جهت عادی زنجیره، اجتناب‌ناپذیر است. پرداختن به موضوع شبکه لجستیک معکوس و مدیریت و هدایت مؤثر و ضروری است. با توجه به بررسی‌ها یکی از مواردی که تأثیر بسیاری بر مدل سازی شبکه لجستیک معکوس دارد، در نظر گرفتن شرایط عدم قطعیت است. در لجستیک معکوس، پارامترهایی مثل ظرفیت مرآکز، تقاضا، هزینه و کیفیت و... غیرقطعی هستند. در برخورد با مبحث لجستیک یکپارچه، ابتدا باید دید که در تصمیمات تاکتیکی سازمان، چه اصولی مطرح است تا با کمک آن بتوان برای لجستیک یکپارچه نیز تصمیمات طراحی راهبردی اتخاذ کرد. در این راستا، طراحی شبکه لجستیک به عنوان بخشی از برنامه‌ریزی زنجیره تأمین از اهمیت ویژه‌ای برخوردار است و می‌تواند نقش مثبتی روی اهداف زنجیره تأمین به خصوص کاهش هزینه‌ها، سطح پاسخگویی و کارایی داشته باشد [۳]. مسئله موردنرسی در این پژوهش طراحی یک مدل شبکه لجستیک یکپارچه مستقیم با در شرایط عدم قطعیت است. در

طراحی و یکپارچه‌سازی شبکه لجستیک به عنوان یک منبع کلیدی برای خلق مزایای رقابتی می‌تواند موجب رضایت مشتریان و پاسخگویی نیازهای خاص آنان را فراهم سازد. یکپارچه‌سازی جریان‌های مستقیم و معکوس باعث جلوگیری از زیربهینگی ناشی از طراحی جدا از هم شبکه لجستیک مستقیم و معکوس می‌شود. زنجیره‌های تأمین سامانه‌های پیچیده و دینامیکی هستند که اغلب در حوزه‌های جغرافیایی وسیعی گسترده شده‌اند [۱]. چالشی جدی که پژوهشگران در طراحی شبکه زنجیره تأمین با آن مواجه هستند عدم قطعیت پیش رو در محیط ناشناخته کسب و کار است. آنچایی که تصمیمات راهبردی مربوط به طراحی شبکه زنجیره تأمین برای یک افق زمانی بلندمدت اتخاذ می‌شوند و همچنین تغییر این تصمیمات هزینه‌های بسیاری در پی خواهد داشت، بنابراین در نظر گرفتن عدم قطعیت در هر مرحله طراحی شبکه امری اجتناب‌ناپذیر است. به طور کلی دو نوع منشأ عدم قطعیت که عملکرد زنجیره تأمین را بهشت تحت تأثیر قرار می‌دهند باید در

\* رایانه نویسنده مسئول: hahassan@ihu.ac.ir

است. ایده اصلی توسعه مدل، اضافه کردن یک سطح به زنجیره تأمین از طریق انبارهای میانی است. انبارهای شرکت، به عنوان بخشی از زنجیره تأمین در حالت‌های اختلال و عدم قطعیت، می‌توانند نیازهای مربوط به رده‌ها را برآورده نمایند؛ لذا این حالت در مدل ریاضی لحاظ گردید و پارامترها و متغیرهای آن تعریف شد و محدودیت مربوط به ظرفیت انبار و هزینه‌های نگهداری آن، به مدل اضافه شده است.

مدل‌های مکان‌بایی تسهیلات و بدویژه مدل‌های مکان‌بایی تسهیلات گستته را می‌توان مبنای تأسیس مسائل طراحی شبکه در زنجیره تأمین در نظر گرفت در جدول (۱) یک دسته‌بندی از پیشینه تحقیق و مدل‌های مرتبط با تاب‌آوری زنجیره تأمین بیان شده است.

پژوهش پیش رو برآینم تا با توسعه مدل هایی به طراحی استوار شbekه زنجیره تأمین پرداخته شود به طوری که از یکسو توانایی مواجهه با عدم قطعیت معمول پارامترها را داشته باشد و از سوی دیگر در مواجهه با اختلالات احتمالی و از دست رفتن ظرفیت خدمت دهی عملکرد قابل قبولی داشته باشد. هدف از ارائه مدل در تحقیق، تعیین تأمین کنندگان بالقوه و تخصیص سفارش به آنها و تعیین مقدار موجودی که باید در انبار نگهداری شود به گونه‌ای که هزینه‌های داخل و بین مراکز در زنجیره تأمین کاهش و سطح پاسخگویی در زنجیره تأمین بیشینه شود. مدل ریاضی استفاده شده در تحقیق جاری، برگرفته از تحقیق ترابی و همکاران [۴] است به طوری که مبتنی بر شرایط واقعی مسئله در مطالعه موردی شرکت تأمین کننده ایشاره، این مدل ریاضی توسعه داده شده

**جدول (۱).** دسته‌بندی پیشینه تحقیق و مدل‌های مرتبط با تاب آوری زنجیره تأمین



ردیف	نام محقق	عنوان پژوهش	سطح تصمیم‌گیری	رویکرد زنجیره	عدم قطعیت	طراحی شبکه	معیارهای ثبات	روش حل	ملاحظه تاب آوری	سال	نمایه انتشار					
											استراتژیک	مدیا و تبلیغات	پذیرش	تازه	ذوب	تازه
۱۰	کریستینو و همکاران	مدلی برای طراحی تاب آور و شبکه زنجیره تأمین	*	*	*	*	*	*	*	۲۰۱۶	*	*	*	*	*	*
۱۱	زاله چنان و همکاران	طراحی پایدار طراحی شبکه موجودی مسیریابی و مکان‌یابی زنجیره تأمین تحت شرایط عدم قطعیت	*	*	*	*	*	*	*	۲۰۱۶	*	*	*	*	*	*
۱۲	ریانی و همکاران	طراحی چنددهدفه زنجیره تأمین با در نظر گرفتن ریسک اختلال و شرایط عدم قطعیت پارامترهای اقتصادی	*	*	*	*	*	*	*	۱۳۹۴	*	*	*	*	*	*
۱۳	هانفی و جولای	طراحی شبکه استوار و قابل اطمینان ن تحت شرایط عدم قطعیت تقاضا و ریسک اختلال	*	*	*	*	*	*	*	۲۰۱۴	*	*	*	*	*	*

سال	مقاله موردی	ملاحظه تابآوری				روش حل	معیارهای ثبات	طراحی شبکه			عدم قطعیت	رویکرد زنجیره	سطح تصمیم‌گیری	عنوان پژوهش	نویسنده	
		موجدهدی	مزونه	توثید	انتخاب تأمین‌کننده			روش های فعال‌تکاری	روش های دفعی	برنامه‌ریزی ریاضی						
۱۳۹۲	*	*	*	*	*	*	*	*	*	*	*	*	*	بهینه‌سازی خاصیت کشسانی در یک مدل برنامه‌ریزی تولید، توزیع یکپارچه	جولای و همکاران	۱۴
۲۰۱۵	*	*	*	*	*	*	*	*	*	*	*	*	*	انتخاب تأمین‌کننده تابآور و تخصیص سفارش تحت شرایط ریسک عملیاتی و اختلال	ترایی و همکاران	۱۵
۱۳۹۳	*	*	*	*	*	*	*	*	*	*	*	*	*	ارائه یک مدل زنجیره تأمین استوار و کشسان تحت شرایط عدم قطعیت ریسک و اختلال	شجاعی و همکاران	۱۶
۲۰۲۱	*	*	*	*	*	*	*	*	*	*	*	*	*	یک مدل تأمین‌کننده انتخاب و تخصیص سفارش چندمنظوره فازی برای زنجیره‌های تأمین حلقه بسته پایدار	خلیلی نصر و همکاران	۱۷

ردیف	عنوان پژوهش	تصمیم‌گیری	سطح	رویکرد زنجیره	عدم قطعیت	طراحی شبکه	معیارهای ثبات	روش حل	ملاحظه تابآوری	هزینه‌ورزی
۲۰۱۹	انتخاب تأمین‌کننده تابآور و تخصیص بهینه سفارش تحت خطرات اختلال	*	*	*	*	*	۳	*	*	حسینی و همکاران
۲۰۲۱	انتخاب تأمین‌کننده ریسک گریز و تخصیص سفارش در زنجیره‌های تأمین متمرکز تحت خطرات اختلال	*	*	*	*	*	۳	*	*	نجف‌آبادی و همکاران
۲۰۲۱	ارائه مدل چنددهفه برای مسئله انتخاب تأمین‌کننده و تخصیص سفارش با پارامترهای فاری	*	*	*	*	*	۳	*	*	فیروزی و جدیدی
۱۳۹۷	پژوهش حاضر قطعیت و حل با رویکرد بهینه‌سازی استوار	*	*	*	*	*	۳	*	*	-

مشورت‌های خبرگان این حوزه استفاده شده است. در مرحله دوم از خروجی پرسشنامه به عنوان ورودی مدل‌سازی ریاضی استفاده می‌شود. مدل استفاده شده در این تحقیق برگرفته و توسعه یافته مدل [۴] است که با توجه به ساختار زنجیره تأمین در شرکت پشتیبانی اقلام عمومی ایثار و نیاز این رده به ارزیابی و انتخاب بهترین تأمین‌کنندگان، بومی‌سازی شده است. در بومی‌سازی مدل ریاضی برای شرکت به این امر توجه شده است که انبارهای شرکت نیز به عنوان بخشی از تأمین در حالت‌های اختلال و عدم قطعیت می‌توانند نیازهای مربوط به رده‌ها را برآورده نمایند؛ لذا در مدل ریاضی لحاظ شده و پارامترها و متغیرهای آن تعریف شده و محدودیت مربوط به ظرفیت انبار و هزینه‌های نگهداری آن به مدل اضافه شده است.

برای مدل‌سازی مسئله، فرض‌های زیر مدنظر قرار گرفته است. همان‌گونه که در بخش مقدمه مقاله، در مورد توسعه مدل ریاضی بحث

## ۲- جنبه جدید بودن و نوآوری تحقیق

با توجه به مرور ادبیات اکثر کارهای انجام‌شده در حوزه طراحی شبکه زنجیره تأمین در فضای عدم قطعیت، فقط عدم قطعیت مربوط به پارامترها را در نظر گرفته و تعداد محدودی نیز عدم قطعیت مربوط به اختلال را در نظر گرفته‌اند. در این پژوهش هر دو حالت عدم قطعیت یعنی عدم قطعیت پارامترها و اختلال به طور همزمان توسط مدل ریاضی ارائه شده مدیریت می‌شوند. بیشتر تحقیقات انجام‌شده در حوزه عدم قطعیت در طراحی شبکه از تئوری مجموعه‌های عدم قطعیت بسته برای مواجهه با عدم قطعیت استفاده می‌شود، در حالی که در تحقیق پیش‌رو از تئوری امکان به عنوان یک رویکرد جدید از روش‌های بهینه‌سازی استوار برای مدیریت عدم قطعیت استفاده شده است. این تحقیق شامل دو فاز است، در مرحله اول کار پرسش‌نامه‌ای و میدانی برای ارزیابی و انتخاب تأمین‌کنندگان صورت گرفته و از نظرات و

$L_{ie}$ : مجموعه سطوح بازسازی تأمین‌کننده  $i$  بعد از حادثه  
 $i \in j, e \in E_i$   $e$  مختل‌کننده

$U$  مجموعه سطوح ممکن مستحکم‌سازی برای تأمین‌کنندگان نوع دوم  
 $e_{is}$ : اندیس حوادث مختل‌کننده برای تأمین‌کننده  $i$  در سناریو  $s$

$$i \in \bar{V}_S, e_{is} \in E_i$$

$e$ : اندیس حوادث مختل‌کننده ممکن

$u$ : اندیس سطوح بازسازی برای تأمین‌کنندگان نوع دوم

$l$ : اندیس سطوح بازیابی در تأمین‌کنندگان نوع دوم  
 $E_i, l \in L_{ie}$

$K$  : مجموعه محصولات

$S$  : مجموعه سناریوهای اختلال

$V$  : مجموعه تأمین‌کنندگان

$i$  : اندیس تأمین‌کنندگان

$k \in K$  : اندیس محصولات

$s \in S$  : اندیس سناریوها

پارامترهای مدل: پارامترهای لازم برای مدل‌سازی زنجیره تأمین اقلام موردنظر عبارت‌اند از:

$FR_{iu}$ : هزینه مستحکم‌سازی تأمین‌کننده  $i$  در سطح  $u$

$\tilde{h}_{ik}$ : هزینه نگهداری موجودی اضطراری از محصول  $k$  نزد تأمین‌کننده پشتیبان  $i$

$\tilde{a}_{ik}$ : هزینه ثابت قرارداد با تأمین‌کننده  $i$  به عنوان تأمین‌کننده پشتیبان  $i$

$\tilde{p}_{ik}$ : هزینه خرید و حمل محصول  $k$  از تأمین‌کننده اصلی  $i$

$\tilde{p}'_{ik}$ : هزینه خرید و حمل محصول  $k$  از تأمین‌کننده پشتیبان  $i$

$b_{wk}$ : فضای موردنیاز برای نگهداری هر محصول  $k$  در انبار  $w$  شرکت

$a_{ik}$ : میزان مصرف محصول  $k$  از تأمین‌کننده  $i$

$Ca_i$ : ظرفیت عرضه تأمین‌کننده  $i$  تحت شرایط عادی

$\tilde{d}_k$ : تقاضای محصول  $k$  در دوره

$\tilde{h}_k$ : هزینه نگهداری موجودی اضطراری از محصول  $k$  در انبار شرکت

$RT_{ie}^l$ : زمان بازیابی تأمین‌کننده پشتیبان  $i$  تا سطح  $l$  بعد از حادثه  $e$

$CL_{ie}^l$ : ظرفیت تأمین‌کننده پشتیبان بعد از حادثه  $e$  و بازیابی تا سطح  $l$

$n$ : بیشترین مقدار مجاز تأمین‌کنندگان در شرایط نرمال

$\tilde{\phi}_{ik}$ : نرخ معیوب بودن محصول  $k$  تأمین‌شده از تأمین‌کننده  $i$

شد، این فرض‌ها بر اساس مطالعه موردی تحقیق جاری (شرکت تأمین‌کننده ایثار)، تبیین شده است که عبارت‌اند از:

۱- مکان کارخانه‌ها، مرکز پخش و مراکز استقرار مشتریان از قبل مشخص است.

۲- تولیدکنندگان بر اساس فهرست اقلام موردنیاز رده‌ها، محصول را تولید کرده و در اختیار مراکز پخش قرار می‌دهند.

۳- پخش یا توزیع اقلام می‌تواند از طریق شرکت ایثار باشد، یا به‌طور مستقیم به رده‌ها فرستاده شود.

۴- زنجیره تأمین موردنظر، سه سطحی است. در سطح اول، تولیدکنندگان (در نقش تأمین‌کنندگان شرکت ایثار) قرار دارند. سطح دوم، شرکت ایثار (به عنوان توزیع‌کننده اصلی زنجیره) قرار دارد و سطح سوم مشتریان (رده‌های کاربر شامل نیروهای پنج‌گانه و سپاه‌های استانی) قرار دارند.

۵- تقاضا به صورت پارامتر فازی است.

۶- مدل چند محصولی، تک‌دوره‌ای با پارامترهای غیرقطعی است.

۷- تمام نیاز رده‌ها باید تأمین شود (به دلیل عملیاتی بودن مأموریت سازمان، کمبود مجاز نیست).

۸- هیچ الزاماً وجود ندارد که ظرفیت موردنیاز مراکز توزیع تنها توسط یک تأمین‌کننده تأمین شود.

۹- تقاضای مشتری می‌تواند از چند تأمین‌کننده برآورده شود.

۱۰- هزینه‌های حمل و نقل بر عهده عرضه‌کننده‌ها و مشتریان خواهد بود.

متغیرها و پارامترهای مورداستفاده در مدل، در زیر خلاصه می‌شوند:

**مجموعه‌ها و اندیس‌ها:** اندیس‌ها و مجموعه‌ها به شرح زیر است.

$I \subset V$ : تأمین‌کنندگان نوع اول

$J \subset V$ : تأمین‌کنندگان نوع دوم

$w \subset W$ : انبارهای شرکت پشتیبانی اقلام عمومی ایثار

$E$ : مجموعه حوادث مختل‌کننده ممکن برای تأمین‌کننده  $i$

$E_i \subset E$ : مجموعه حوادث مختل‌کننده ممکن برای تأمین‌کننده  $i$

$\bar{V}_S \subset V$ : مجموعه تأمین‌کنندگان که در سناریو  $s$  دچار اختلال می‌شوند.

$V_S \subset V$ : مجموعه تأمین‌کنندگان که در سناریو  $s$  دچار اختلال نمی‌شوند.

$e_{is}^l : \text{اگر تأمین‌کننده مختل شده } i \text{ تا سطح 1 بعد از حادثه } e_{is}$   
در سناریو s بازیابی شود ۱ در غیر این صورت ۰.

$x'_{ik} : \text{مقدار محصول } k \text{ که بعد از اختلال تحت سناریو s از تأمین‌کننده } i \text{ دریافت خواهد شد.}$

$xp'_{wks} : \text{مقدار محصول } k \text{ مصرف شده از موجودی ذخیره شده در انبار w شرکت بعد از اختلال تحت سناریو s}$

$q_{iks} : \text{مقدار محصول } k \text{ مصرف شده که از موجودی ذخیره شده نزد تأمین‌کننده } i \text{ بعد از اختلال تحت سناریو s}$

### ۳- مدل ریاضی پیشنهادی

$$\begin{aligned} \text{Minf1} = & \sum_{i \in V} A_i z_i + \sum_{i \in V} \sum_{k \in K} p_{ik} x_{ik} + \sum_{i \in V} f_i \dot{z}_i \\ & + \sum_{i \in j} \sum_{u \in U} FR_{iu} y_{iu} \\ & + \sum_{i \in j} \sum_{k \in K} h_{ik} ss_{ik} \\ & + \sum_{w \in W} \sum_{k \in K} \dot{h}_{wk} ss_{wk} \\ & + P_s \left[ \sum_{i \in V_s} \sum_{k \in K} \dot{p}_{ik} \dot{q}_{iks} \right. \\ & + \sum_{i \in j} \sum_{k \in K} p_{ik} q_{iks} \\ & \left. - \sum_{i \in V_s} \sum_{k \in K} p_{ik} (x_{ik} - \dot{x}_{iks}) \right] \quad (1) \end{aligned}$$

$$\begin{aligned} \text{Minf2} = & P_s \left[ \sum_{i \in V} \sum_{k \in K} L T_i \dot{q}_{iks} + \sum_{i \in j} \sum_{k \in K} L T_i q_{iks} \right. \\ & + \sum_{i \in j \cap V_s} \sum_{k \in K} \left( (\dot{x}_{iks} \right. \\ & \left. - \theta_{ieis} x_{ik}) \left[ LT \right. \right. \\ & \left. \left. + \sum_{l \in L_{ie}} R T_{ieis}^l L T_{ieis}^l \right] \right] \quad (2) \end{aligned}$$

St:

$$\begin{aligned} \left( \sum_{i \in V_s} (x_{ik} + \dot{q}_{iks}) + \sum_{i \in V_s} x_{ik} + \sum_{i \in j} q_{iks} \right) \\ + \sum_{t \in T} \sum_{w \in W} \dot{x}_{wks} \geq d_k \quad \forall s \\ \in S, k \in K \quad (3) \end{aligned}$$

$R_k : \text{بالاترین مقدار قابل قبول برای نرخ معیوب بودن محصول } k$

$\tilde{A}_i : \text{هزینه ثابت قرارداد با تأمین‌کننده } i \text{ به عنوان تأمین‌کننده اصلی}$

$Ca_w : \text{ظرفیت نگهداری انبار w شرکت}$

$Sc_i : \text{ظرفیت نگهداری نزد تأمین‌کننده } i$

$w_{ik} : \text{مقدار موجودی از محصول } k \text{ و تأمین‌کننده پشتیبان } i \text{ که در انبار w نگهداری می‌شود.}$

$LT_i : \text{زمان تدارک تأمین‌کننده اصلی } i$

$LT'_i : \text{زمان تدارک تأمین‌کننده پشتیبان } i$

$\pi_{ie} : \text{احتمال وقوع حادثه } e \text{ برای تأمین‌کننده } i$

$\theta_{ie} : \text{ظرفیت باقیمانده از تأمین‌کننده } i \text{ بعد از حادثه مختل کننده } e$

$\beta_{ieu} : \text{میزان افزایش ظرفیت تأمین‌کننده پشتیبان } i \text{ بعد از حادثه } e \text{ به دلیل مستحکم‌سازی تا سطح } u$

$P_s : \text{احتمال وقوع سناریو s}$

$M : \text{مقدار بزرگ}$

$\text{فضای موردنیاز برای ذخیره‌سازی هر محصول } k \text{ نزد تأمین‌کننده } i \text{ در دوره } u$

$\text{متغیرهای تصمیمی: متغیرهای تصمیم لازم برای مدل‌سازی در زیر آورده شده است.}$

\* متغیرهای تصمیم مرحله اول:

$z'_{ie} : \text{اگر با تأمین‌کننده } i \text{ به عنوان تأمین‌کننده پشتیبان قرارداد بسته شود ۱ در غیر این صورت صفر}$

$y_{iu} : \text{اگر تأمین‌کننده } i \text{ تا سطح } u \text{ مستحکم‌سازی شود ۱ در غیر این صورت صفر}$

$ss_{wk} : \text{مقدار موجودی از پیش ذخیره شده از محصول } k \text{ نزد انبار w شرکت}$

$ss_{ik} : \text{مقدار موجودی از پیش ذخیره شده از محصول } k \text{ نزد تأمین‌کننده مستحکم شده } i \text{ در دوره } u$

$x_{ik} : \text{مقدار محصول } k \text{ خریداری شده از عرضه‌کننده } i \text{ و حمل شده به شرکت پشتیبانی اقلام عمومی ایثار}$

$z_i : \text{اگر با تأمین‌کننده } i \text{ به عنوان تأمین‌کننده اصلی قرارداد بسته شود ۱ در غیر این صورت صفر}$

\* متغیرهای تصمیم وابسته به سناریو:

$qp'_{iks} : \text{مقدار محصول } k \text{ خریداری شده از تأمین‌کننده پشتیبان بعد از اختلال تحت سناریو s}$

$$RL_{ieis}^l \in \{0,1\} \quad \forall i \in j.s \in S . . l \in L_{ieis} \quad (۲۲)$$

تابع هدف شماره (۱) مجموع هزینه‌های موردانتظار را کمینه می‌کند که شامل هزینه‌های ثابت عقد قرارداد، خرید و انتقال از تأمین‌کنندگان عمده و هزینه قرارداد با تأمین‌کنندگان پشتیبان، هزینه مستحکم‌سازی، هزینه نگهداری محصول در انبار بعضی تأمین‌کنندگان و انبارهای شرکت پشتیبانی اقلام عمومی ایشار است. در بخش آخر این تابع هدف، به ازای هر اختلال تحت سناریو  $s$  هزینه خرید، حمل محصول مصرفشده از موجودی ذخیره‌شده نزد تأمین‌کننده اصلی از مابهالتفاوت هزینه خرید و حمل محصول قبل و بعد از اختلال کسر می‌شود. تابع هدف (۲) که در واقع یک ابزار کمی برای سنجش تابآوری از دست رفته است، به این صورت عمل می‌کند که مقدار خریداری شده از تأمین‌کنندگان پشتیبان و مقدار استفاده شده از موجودی اضطراری ذخیره‌شده نزد تأمین‌کنندگان مستحکم شده، ضرب در زمان موردنیاز برای تدارک این محصولات هرچه قدر کمتر باشد؛ تابآوری سیستم تأمین افزایش می‌یابد. محدودیت (۳) تقاضای هر محصول در هر دوره، برای هر مشتری، تحت هر سناریو باید برآورده شود. محدودیت (۴) مقدار خریداری شده از هر عرضه‌کننده مختلف نشده به عنوان عرضه‌کننده اصلی یا پشتیبان باید از طرفیت تأمین آن عرضه‌کننده در همان دوره کمتر باشد. محدودیت (۵) مقدار خریداری شده از تأمین‌کنندگان نوع اول مختلف شده در صورت وجود ظرفیت خریداری شده از تأمین‌کنندگان نوع دوم در صورت وجود ظرفیت پس از وقوع اختلال با توجه به سطح بازیابی و مستحکم‌سازی این تأمین‌کنندگان محدود می‌نماید. نکته مهم در این محدودیت، غیرخطی بودن عبارت اول در سمت راست محدودیت است. محدودیت (۷) بیان می‌کند که مقدار فرستاده شده از عرضه‌کننده مختلف شده تحت هر سناریو باید بزرگ‌تر با مساوی مقدار خریداری شده از عرضه‌کننده در شرایط نرمال ضرب در ظرفیت باقی‌مانده عرضه‌کننده پس از اختلال باشد. محدودیت (۸) تضمین می‌کند که موجودی اضطراری تنها نزد تأمین‌کنندگان نوع دوم نگهداری شده و حجم موجودی که در هر دوره نزد این عرضه‌کنندگان نگهداری می‌شود از فضای انبار عرضه‌کنندگان نوع دوم بیشتر نباشد. محدودیت (۹) مقدار موجودی اضطراری که در انبارهای شرکت پشتیبانی اقلام عمومی ایشار نگهداری می‌شود را با توجه به فضای موجود انبار محدود می‌کند. محدودیت (۱۰) تضمین می‌کند که مجموع نرخ معیوب مورد انتظار برای هر محصول باید کمتر از نرخ معیوب مورد انتظار توسط شرکت پشتیبانی اقلام عمومی ایشار باشد. محدودیت (۱۱) بیان می‌کند

$$\sum_{k \in K} a_{ik}(x_{ik} + \dot{q}_{iks}) \leq Ca_i \quad \forall s \in S . i \in V \quad (۴)$$

$$\sum_{k \in K} a_{ik}\dot{x}_{iks} \leq \theta_{ieis} Ca_i \quad \forall i \in I \cap \bar{V}_s . e.s \quad (۵)$$

$$\begin{aligned} \sum_{k \in K} a_{ik}\dot{x}_{iks} &\leq \left[ \left( \theta_{ieis} + \sum_{u \in U} \beta_{ieis} Y_{iu} \right) \left( 1 - \sum_{u \in U} RL_{ieis}^{ls} \right) \right. \\ &\quad \left. + \sum_{l \in L_{ie}} CL_{ieis}^l RL_{ieis}^l \right] * Ca_i \quad \forall i \in I \cap \bar{V}_s . e.s \end{aligned} \quad (۶)$$

$$\theta_{ieis} * x_{ik} \leq \dot{x}_{iks} \quad \forall i \in \bar{V}_s . e.s \quad (۷)$$

$$\sum_{k \in K} b_{ik}ss_{ik} \leq Sc_i \sum_{u \in U} Y_{iu} \quad \forall i \in I \cap \bar{V}_s . e.s \quad (۸)$$

$$\sum_{k \in K} b_{wk}ss_{wk} \leq ca_w \quad \forall w \in W . s \in S \quad (۹)$$

$$\begin{aligned} \sum_{i \in V_s} \tilde{\varphi}_{ik} (x_{ik} + \dot{q}_{iks}) + \sum_{i \in V_s} \tilde{\varphi}_{ik} \dot{x}_{iks} + \sum_{i \in j} \tilde{\varphi}_{ik} . & \leq R_k \left[ \sum_{i \in V_s} (x_{ik} + \dot{q}_{iks}) \right. \\ &\quad \left. + \sum_{i \in V_s} \dot{x}_{iks} + \sum_{i \in j} q_{iks} \right] \quad \forall k \in K . s \in S \end{aligned} \quad (۱۰)$$

$$\sum_u Y_{iu} \leq 1 \quad \forall i \in j \quad (۱۱)$$

$$q_{iks} \leq W_{ik} \quad \forall k \in K . s \in S . i \in j \quad (۱۲)$$

$$\sum_{k \in K} x_{ik} \leq M * z_i \quad \forall i \in V \quad (۱۳)$$

$$q'_{iks} \leq M * z_i \quad \forall k \in K . s \in S . i \in V \quad (۱۴)$$

$$x'_{iks} \leq ss_{wk} \quad \forall k \in K . s \in S . t \in T . w \in W \quad (۱۵)$$

$$q'_{iks} = \mathbf{0} \quad \forall i \in \bar{V}_s . k \in K . s \in S \quad (۱۶)$$

$$\sum_{i \in V} z_i \leq n \quad (۱۷)$$

$$\sum_{l \in L_{ie}} RL_{ieis}^l \leq 1 \quad \forall i \in I \cap \bar{V}_s . k \in K . s \in S \quad (۱۸)$$

$$x_{ik} . x'_{iks} . ss_{ik} . \dot{x}_{wks} . q_{iks} . \dot{q}_{iks} . ss_{wk} \geq 0 \quad \forall i \in V . k \in K . s \in S \quad (۱۹)$$

$$y_{iu} \in \{0,1\} \quad \forall i \in j . u \in U \quad (۲۰)$$

$$z_i . \dot{z}_i \in \{0,1\} \quad \forall i \in V \quad (۲۱)$$

محدودیت شانس امکانی ارائه کردند که در آن از یک اندازه فازی جدید me که بسطی بر اندازه اعتبار است. مهم‌ترین مزیت روش ژو و همکاران [۲۱] این است که دو مدل تخمین LAM و UAM به طور مناسبی بر روی تغییرات بدینانه-خوشنیانه ناشی از تفاوت نگرش تصمیم‌گیرنده‌گان فیت شود. از آنجایی که مدل UAM از یک رویکرد خوش‌بینانه در محدودیت‌ها استفاده می‌کند، ناحیه شدنی آن از ناحیه شدنی مدل LAM بزرگ‌تر است. در نتیجه مدل UAM از نظر تئوری جواب بهینه بهتری به دست می‌دهد. هنگامی که مدل‌های LAM و UAM به صورت همزمان حل شوند، بازه‌ای از جواب‌ها ایجاد خواهد شد که حد بالا و پایین این بازه‌ها خروجی حل مدل‌های و UAM می‌باشد. با استفاده از این دو مدل، تصمیم‌گیرنده حد بالا و حد پایینی از جواب‌های بهینه را در اختیار خواهد داشت. در این روش، اطلاعات پیشتری برای تصمیم‌گیرنده جهت انتخاب راه حل نهایی از میان جواب‌های ایجادشده فراهم می‌کند [۲۲].

## ۵- روش بهینه‌سازی چند‌هدفی

با توجه به دو هدفه بودن مسئله، تابع هدف در نظر گرفته شده، یک تابع مطلوبیت به صورت ترکیب خطی محاسبه از اهداف است که در آن به هر کدام از هدف‌ها، یک وزن جداگانه داده می‌شود. به علاوه برای همسان‌سازی تأثیر هر کدام از اهداف در تابع مطلوبیت، با استفاده از شاخص انحراف نسبی<sup>۶</sup> (RDI)، اهداف نرمال‌سازی می‌شود [۲۳] و [۲۴]:

$$RDI = \frac{Alg_{sol} - Best_{sol}}{Worst_{sol} - Best_{sol}} * 100 \quad (23)$$

$$F = \sum_{i=1}^2 \lambda_i * f_i^{norm} = \lambda_1 f_1^{norm} + \lambda_2 f_2^{norm} \quad (24)$$

$$\sum_{i=1}^2 \lambda_i = 1, \lambda_i \in [0,1]$$

در رابطه فوق،  $f_1^{norm}$  و  $f_2^{norm}$  به ترتیب مقدار نرمال شده جزء اول، دوم تابع هدف می‌باشند. چنانچه تابع هدف ا به صورت ماکریم‌سازی باشد، مقدار نرمال شده آن طبق رابطه (۲۵) به دست می‌آید.

$$f_i^{norm} = \frac{f_i - f_i^{max}}{f_i^{min} - f_i^{max}}, i = 1, 2, 3 \quad (25)$$

و اگر تابع هدف ا به صورت مینیمم‌سازی باشد، مقدار نرمال شده آن از رابطه (۲۶) به دست می‌آید [۲۳] و [۲۴]:

$$f_i^{norm} = \frac{f_i - f_i^{min}}{f_i^{max} - f_i^{min}}, i = 1, 2, 3 \quad (26)$$

که تأمین‌کنندگان نوع دوم حداکثر تا یک سطح مستحکم‌سازی می‌توانند بازیابی شوند. محدودیت (۱۲) تضمین می‌کند که مقدار دریافت کالا از موجودی از پیش‌ذخیره شده نزد عرضه‌کنندگان نوع دوم در فاز پیش از اختلال باید از مقدار موجودی ذخیره شده نزد تأمین‌کننده پیش از قوع اختلال کمتر یا مساوی باشد. محدودیت (۱۳) در صورتی می‌توان از تأمین‌کنندگان اصلی کالا دریافت کرد که با این عرضه‌کنندگان قرارداد بسته شده باشد. محدودیت (۱۴) تضمین می‌کند که مقدار خریداری شده از عرضه‌کننده پشتیبان در صورتی که با آن عرضه‌کننده قرارداد عقد شده باشد مساوی صفر است. محدودیت (۱۵) تضمین می‌کند مقدار استفاده شده از موجودی اضطراری ذخیره شده در انبارهای شرکت پس از اختلال باید کمتر یا مساوی مقدار ذخیره شده این موجودی در دوره پیش از اختلال باشد. محدودیت (۱۶) تضمین می‌کند که عرضه‌کنندگان مختلف شده در هر سناریو نمی‌توانند به عنوان عرضه‌کننده پشتیبان در همان سناریو در نظر گرفته شوند. محدودیت (۱۷) بیان می‌کند که تعداد عرضه‌کنندگان اصلی باید از ماکریم تعداد تأمین‌کنندگان در شرایط نرمال (شرایط پیش از اختلال) کمتر باشد (بر اساس اصول زنجیره تأمین ناب). محدودیت (۱۸) بیان می‌کند که هر کدام از عرضه‌کنندگان مختلف شده نوع دوم می‌توانند تا یک سطح مستحکم‌سازی مورد بازیابی قرار گیرند. محدودیت‌های (۱۹) تا (۲۲) نوع متغیرهای تصمیم را مشخص می‌کند.

## ۴- فازی زدایی مدل قطعی

روش‌های متعددی تاکنون برای تبدیل مدل‌های امکانی فازی به مدل قطعی توسعه داده شده است. در ادبیات چندین روش برای تبدیل یک مدل احتمالی به یک قطعی معادل آن وجود داشته است. بررسی ادبیات نشان می‌دهد که روش‌های برنامه‌ریزی احتمالی مبتنی بر اعتبار<sup>۱</sup> شامل ارزش انتظاری<sup>۲</sup>، برنامه‌ریزی محدودیت شانس<sup>۳</sup> و برنامه‌ریزی محدودیت شانس وابسته<sup>۴</sup>، جزو کاربردی‌ترین روش‌ها برای مواجهه با عدم قطعیت در داده‌های ورودی هستند. در میان این روش‌ها، رویکرد برنامه‌ریزی محدودیت شانس امکانی، بیشترین کاربرد را در مسائلی دارد که در آن تصمیم‌گیرنده می‌تواند حداقل سطح اطمینان را به عنوان یک حاشیه ایمنی مناسب برای ارضای هر محدودیت احتمالی داشته باشد. اخیراً ژو<sup>۵</sup> و همکاران، رویکرد جدیدی از برنامه‌ریزی

<sup>1</sup> Credibility-Based Possibilistic Programming

<sup>2</sup> Expected Value

<sup>3</sup> Chance-Constrained Programming

<sup>4</sup> Dependent Chance-Constrained Programming

<sup>5</sup> Xu

<sup>6</sup> Relative Deviation Index

تاب آور شرکت مدل تأمین تاب آور مسئله را که بومی شده کار تراوی و همکاران [۴] می‌باشد، پیاده‌سازی گردید. برای روایی و پایایی، پرسشنامه‌ها بین کل خبرگان جامعه آماری (۱۵ نفر) که شامل معاونین، مدیران ارشد، کارشناسان و مسئولین شرکت که آشنا با حوزه تأمین اقلام عمومی هستند توزیع شد. با توجه به هدف تحقیق که قرار است با یک مدل دوهدفه (شامل اهداف هزینه و تاب آوری) و با استفاده از روش‌های دقیق و فراابتکاری به یک نتیجه تعادلی برسد، ابتدا تأمین‌کننده‌های بالقوه سازمان برای محصولات مختلف با استفاده از روش تحلیل سلسله‌مراتبی اولویت‌بندی و سپس تأمین‌کنندگانی با توجه به معیارهای انتخاب به دو دسته تأمین‌کننده نوع اول و دوم تقسیم‌بندی شده و به عنوان خروجی وارد فاز مدل سازی می‌شوند. در جدول (۲) معیارهای استفاده شده برای قضاوت خبرگان در پرسشنامه آورده شده است.

جدول (۲). معیارهای استفاده شده برای قضاوت خبرگان

معیار	زیر معیار	معیار	زیر معیار	معیار
انعطاف‌پذیری	پاسخ‌گویی	هزینه	قیمت محصول	هزینه
سرعت پاسخ‌گویی			ثبت قیمت	
کاهش زمان تحويل			هزینه تدارک	
تجربه کاری و شهرت	وضعیت تأمین‌کننده	کیفیت	تضمين کیفیت	کیفیت
وضعیت مالی			خدمات پس از فروش	
مشروعیت و رعایت الزامات قانونی			قابلیت اطمینان محصول	
تولید داخل ایران بودن	نژدیکی فیزیکی تأمین‌کننده به منظور تأمین محلی	ملی	تولید	ملی
نژدیکی فیزیکی تأمین‌کننده به منظور تأمین محلی				

پس از دریافت نظرات خبرگان بر اساس فرمول لاشه، روایی هر یک از سؤالات، با توجه به نظرات و نقطه برش ۰/۶ [۲۵] کلیه معیارها تأیید گردید. در این قسمت برای ارزیابی و انتخاب تأمین‌کننده، از روش تحلیل سلسله‌مراتبی استفاده و خروجی همان اوزانی است که درنهایت به عنوان ورودی مدل ریاضی استفاده می‌شود. در این مرحله با در اختیار داشتن وزن گزینه‌ها و نرمال کردن آن‌ها، می‌توان در مورد تعیین اوزان تأمین‌کننده‌گان تصمیم‌گیری نمود. نتایج حاصل از نرم‌افزار Expert Choice در مورد تعیین اوزان در جدول (۳) آمده است.

در نتیجه رابطه برای دو هدف موردنظر برقرار است.

$$\begin{aligned} F &= \sum_{i=1}^3 \lambda_i * f_i^{norm} = \lambda_1 f_1^{norm} + \lambda_2 f_2^{norm} \\ &= \lambda_1 \left( \frac{f_i - f_i^{min}}{f_i^{max} - f_i^{min}} \right) \\ &\quad + \lambda_2 \left( \frac{f_i - f_i^{max}}{f_i^{min} - f_i^{max}} \right) \end{aligned} \quad (27)$$

و از آنجاکه اهداف متفاوت‌اند داریم:

$$F = \lambda_1 F_1^{norm} - \lambda_2 F_2^{norm} \quad (28)$$

## ۶- محیط نگاری تحقیق

شرکت پشتیبانی اقلام عمومی ایثار چهار شعار اصلی را در جهت تأمین تجهیزات مرتبط با انواع کالاهای زیست و خواب، لوازم اداری و لوازم خانگی نیازهای رده‌های سازمان دنبال می‌کند. شعارهای این شرکت عبارت است از حمایت از تولید ملی، کیفیت، هزینه و پاسخ‌گویی می‌باشد. با توجه به شعارها و ماهیت عملیاتی بودن این شرکت، بحث پاسخ‌گویی در زنجیره تأمین و حمایت از تولید داخلی بر مبنای سیاست‌های کلی اقتصاد مقاومتی و در جهت ایجاد اشتغال پایدار در سراسر کشور، سیاست شرکت پشتیبانی اقلام عمومی ایثار، متمرکز بر خرید کالاهای داخلی می‌باشد، مبحث بسیار مهمی است؛ لذا در این تحقیق هدف اصلی ایجاد یک زنجیره تأمین تاب آور و پاسخ‌گو است که در هر شرایطی از اختلال و تحریم، تأمین کالا برای هیچ‌کدام از رده‌ها با مشکل مواجه نشود. هدف بعدی با توجه به سیاست‌های اقتصاد مقاومتی و در جهت ایجاد اشتغال در صنایع سراسر کشور این است که فرایند تأمین کالاهای به سمت تأمین محلی سوق داده شده و فرایند ارسال مستقیم از کارخانه به مصرف‌کننده در دستور کار قرار گیرد. طوری که به جای سیاست تأمین متمرکز و ارسال غیرمستقیم (رویه‌ای که اکنون بیشتر مورد استفاده است) از سیاست تأمین غیرمتمرکز و ارسال مستقیم استفاده شده و ملاحظات مربوط به تاب آوری و پاسخ‌گویی در آن لحاظ شود. زنجیره تأمین مرتبط با شرکت پشتیبانی اقلام عمومی ایثار یک زنجیره تأمین سه سطحی است که در سطح اول تولید کنندگان به عنوان عرضه‌کننده کالاهای برای شرکت و در سطح دوم، خود شرکت هم به عنوان تأمین‌کننده و هم همزمان توزیع کننده کالا در زنجیره می‌باشد و در سطح سوم رده‌های کاربر قرار دارند. در فاز اولیه از طریق پرسشنامه معیارهای اصلی انتخاب تأمین‌کننده احصا و اهمیت و وزن معیارها تعیین می‌گردد. سپس در فاز دوم برای برنامه‌ریزی ریاضی فرایند تأمین

گام (۶) انتخاب والد برای تولیدمثل: یکی از سازوکارهای انتخاب، برقراری تورنمنت دوتایی میان دو عضو منتخب است که به طور تصادفی از میان جمعیت انتخاب می‌شوند. گام (۷) انجام عملیات تقاطع برای تولید فرزندان. گام (۸) انجام عملیات جهش برای تولید جهش‌یافتنگان. گام (۹) یکپارچه کردن جمعیت (جمعیت اولیه، جمعیت تقاطع، جمعیت جهش‌یافتنگان): در این گام جواب‌های اولیه و جواب‌های تولیدشده از انجام عملیات تقاطع و جهش را با هم تلفیق کرده و سپس بر مبنای رویکرد غالبی، اعضای جمعیت را مرتب می‌کنیم. گام (۱۰) مرتب‌سازی جمعیت. گام (۱۱) در نظر گرفتن مجموعه‌ای از راه حل‌های نامغلوب. گام (۱۲) انتخاب و مرتب کردن جمعیت برای فرانتهای موردنظر. گام (۱۳) اگر تعداد تکرار به اندازه تعیین شده رسید، اتمام و در غیر این صورت به گام ۳ برگردد. گام (۱۴) توقف و نتایج خروجی.

### ۷-۱-۱-۱- عملگرهای ژنتیک

تقاطع: در این مسئله عملگر تقاطع به طور جداگانه روی هر بخش از کروموزوم انجام می‌گیرد. در هر دو بخش از عملگر تقاطع دونقطه‌ای استفاده شده است که نقاط شکست کروموزوم‌ها تصادفی برگزیده می‌شود. از آنجایی که با جایگشت خود کروموزوم نمی‌توانیم عمل تقاطع را انجام دهیم، زیرا امکان تولید جواب‌های غیرممکن وجود دارد؛ بنابراین همانند آنچه در قسمت بازنمایی راه حل‌ها جواب توضیح داده شد، اعداد تصادفی بین صفر و یک به تعداد کل محصول‌ها در هر بخش کروموزوم تولید کرده و عمل تقاطع روی این اعداد انجام می‌گیرد. سپس نحوه تولید جواب همانند توضیحات مذکور خواهد بود.

جهش: برای کروموزوم‌های پیوسته ارائه شده در این تحقیق از جهش غیریکنواخت استفاده شده است. این جهش معمولاً میزان تغییر کوچکی در مقادیر ژن ایجاد می‌کند. در این جهش یک مقدار کوچک به مقدار فعلی ژن اضافه می‌شود. این مقدار اضافه شده به طور تصادفی از یک توزیع گوسی (نرمال) با میانگین صفر و انحراف معیار از پیش تعیین شده به دست می‌آید. برای والدی همانند  $x$  و فرزند جهش‌یافته  $y$  روابط زیر را داریم.

$$\Delta x \sim N(0, \delta^2) \quad y = x + \Delta x \sim N(0, \delta^2)$$

مکانیزم انتخاب: برای ایجاد جمعیت نسل آینده، تعدادی از کروموزوم‌های اولیه به عنوان جمعیت والد انتخاب می‌شوند و عملگر تقاطع و جهش روی آن اعمال می‌شود. در این تحقیق، از مکانیزم انتخاب مسابقه‌ای دودویی برای انتخاب والد استفاده می‌شود. یکی از ویژگی‌های مثبت این مکانیزم این است که نیاز

جدول (۳). امتیاز نهایی تأمین کنندگان کالاهای مختلف

محصول	توزیع کننده	تأمین کننده	وزن نهایی	IR	تأمین کننده	رتبه نهایی	تأمین کننده
تلوزیون	شرکت پشتیبانی اقلام عمومی	شہاب	۰/۳۶۱	۰/۰۷	۲	۰/۲۹۷	صنام
	سامسونگ	۰/۱۶۶	۴		۰/۱۷۷	ال جی	
			۱		۰/۴۰۶	نوی	
			۴		۰/۰۶۲	نیلپر	
میز و صندلی	شرکت پشتیبانی اقلام عمومی	آرام گستر	۰/۱۷۹	۰/۰۶	۳	۰/۳۵۲	رایانه صنعت
	فdk پرداز	۰/۴۰۱	۱		۰/۲۰۳	نیکان تجارت	
	الmas رایانه	۰/۳۲۵	۲		۰/۰۵۹	الفبای کار	
	امروز		۴				
رایانه	شرکت پشتیبانی اقلام عمومی	رایانه		۰/۰۶	۳	۰/۲۰۳	الماس رایانه
	فdk پرداز	۰/۴۰۱	۲		۰/۳۲۵	نیکان تجارت	
	آرام گستر	۰/۱۷۹	۱		۰/۰۶۲	نیلپر	
	نوی	۰/۴۰۶	۴		۰/۲۹۷	شہاب	

### ۷- الگوریتم‌های فرآبتكاری

#### ۷-۱- ساختار طراحی الگوریتم NSGA-II پیشنهادی

ساختار کلی طراحی شده الگوریتم NSGA-II پیشنهادی به صورت زیر می‌باشد.

گام (۱) لحاظ کردن پارامترهای ورودی؛ گام (۲) ایجاد جمعیت اولیه: در ابتدای الگوریتم، جمعیت اولیه به اندازه  $n_{pop}$  بر مبنای مقیاس و قیود مسئله تولید می‌گردد. گام (۳) ارزیابی برآزندگی تابع چندهدفه: در این گام، جمعیت تولیدشده بر مبنای تابع هدف مسئله، مورد ارزیابی قرار می‌گیرد تا بهترین اعضای جمعیت که مقدار تابع هدف بهتری را برای مسئله در نظر می‌گیرند انتخاب شوند. گام (۴) روش مرتب‌سازی نامغلوب: در این مرحله، اعضای جمعیت مجموعه جواب‌های قابل قبول در داخل دسته‌هایی قرار می‌گیرند، به گونه‌ای که اعضای موجود در دسته اول، یک مجموعه کاملاً غیرمغلوب توسط دیگر اعضا جمعیت فلی باشند. اعضای موجود در دسته‌های دوم نیز بر همین مبنای تابع هدف از اعضای دسته اول مغلوب شده و این روند به همین صورت در دسته‌های دیگر ادامه یافته تا به تمام اعضای موجود در هر دسته، یک رتبه بر مبنای شماره دسته ازدحامی داده شود. گام (۵) محاسبه پارامتر کنترلی به نام فاصله ازدحامی: این پارامتر برای هر عضو در هر گروه محاسبه و بیانگر اندازه‌ای از نزدیکی نمونه موردنظر به دیگر اعضای جمعیت آن دسته و گروه می‌باشد. برای هر یک از اعضای جمعیت  $k$  از مجموعه مرتب‌شده  $F_i$  و از شماره ۲ تا  $n-1$  به صورت رابطه (۲۹) مراحل زیر را انجام دهید:

$$CD(i, k) = CD(i, k) + \frac{f_m(k+1) - f_m(k-1)}{f_m^{\max} - f_m^{\min}} \quad (29)$$

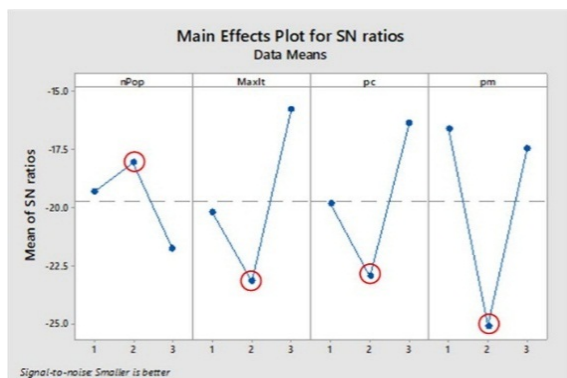
جدول (۵). آرایه (34) برای الگوریتم GA

ترتیب اجرا	پارامترهای الگوریتم			مقادیر جواب
	nPop	Pm	Pc	
۱	۱	۱	۱	۶/۹۵۱۷
۲	۱	۲	۲	۳۷/۱۶۲
۳	۱	۳	۳	۳/۰۸۱۲
۴	۲	۲	۱	۹/۴۶۵
۵	۲	۲	۳	۵/۶۵۶۵
۶	۲	۳	۱	۹/۵۷۴۷
۷	۳	۱	۳	۱۶/۳۷۵۲
۸	۳	۲	۱	۱۴/۲۱۲۸
۹	۳	۳	۲	۷/۹۲۳۱

محاسبات مربوط به آزمایشات تاگوچی مطابق شکل (۱) و (۲) می‌باشد.



شکل (۱). میانگین جواب‌ها حاصل از نرم‌افزار مینی‌تب برای تنظیم پارامترهای NSGA-II



شکل (۲). میانگین نسبت اغتشاشات حاصل از نرم‌افزار مینی‌تب برای تنظیم پارامترهای NSGA-II

همان‌طور که در قسمت‌های قبلی توضیح داده شد، بر اساس شکل میانگین جواب‌ها و نسبت اغتشاشات، پارامترهای کنترلی اندازه جمعیت، حداکثر تکرار، احتمال تقاطع و احتمال جهش، به

به هیچ اطلاعات سراسری از جمعیت ندارد؛ در عوض این عملگر هر جفت جواب را، مقایسه و رتبه‌بندی می‌کند و از لحاظ مفهومی ساده و برای پیاده‌سازی و کاربرد، سریع است. در این روش در هر مرحله،  $k$  جواب (با یا بدون جایگزینی) انتخاب شده و از میان آن‌ها، بهترین فرد از لحاظ برازنده‌گی به عنوان والد انتخاب می‌شود و این کار ۲ بار انجام می‌شود تا ۲ والد انتخاب شوند. برای انتخاب بازماندگان هر نسل برای نسل آینده، اعضای جمعیت فعلی و جمعیت حاصل از تقاطع و جهش با توجه به برازنده‌گی مرتب شده و از میان آن‌ها به‌اندازه پارامتر اندازه جمعیت انتخاب می‌شود.

#### ۷-۱-۲- تنظیمات پارامترها برای الگوریتم‌های فرآبتكاری

جهت تنظیم پارامتر الگوریتم‌های مورداستفاده در این تحقیق با توجه به رویکردهای متفاوتی شامل ارجاع به مطالعات صورت گرفته گذشته، روش سعی و خطأ، روش تاگوچی [۲۶] و استفاده از الگوریتم‌های فرآبتكاری (قبل از اجرا یا در حین اجرا)، از روش طراحی آزمایش‌های تاگوچی استفاده شده است. روش کار به این‌گونه است که یکسری از سطوح مختلف پارامترهای مؤثر بر الگوریتم، بر مبنای شاخص‌های ورودی که معمولاً از مقدار تابع هدف استفاده می‌شود، موردنرسی قرار گرفته و بهترین ترکیب پارامترها، بر اساس نتایج حاصل از آزمایش‌های صورت گرفته بر مبنای (L9) انتخابی، به عنوان مقادیر مطلوب جهت تنظیم پارامترها پیشنهاد می‌شود.

#### ۷-۱-۳- پارامترهای کنترلی الگوریتم ژنتیک چندهدفه

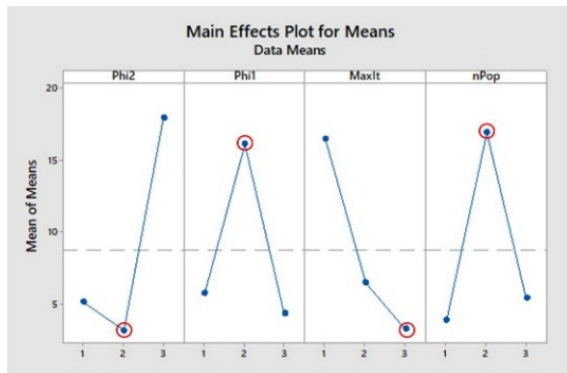
برای تنظیم پارامترهای کنترلی این الگوریتم با مراجعه به تحقیقات پیشین نظری [۲۴]، [۲۶] و [۲۷] و نیز بر اساس روش سعی و خطأ، سطوح مختلف برای پارامترهای الگوریتم ژنتیک چندهدفه مطابق جدول (۴) است.

جدول (۴). پارامترهای احصا شده برای الگوریتم ژنتیک

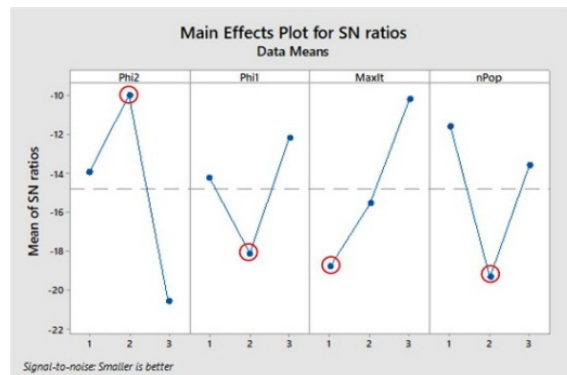
NSGA-II				سطوح
nPop	pm	pc	Maxit	
جمعیت	احتمال جهش	احتمال تقاطع	حداکثر تکرار	
۲۵	۰/۲	۰/۵	۱۵۰	سطح ۱
۳۰	۰/۳	۰/۷	۱۰۰	سطح ۲
۴۵	۰/۴	۰/۹	۲۰۰	سطح ۳

سپس با استفاده از طراحی آزمایش‌ها و روش تاگوچی، طرح آزمایشی مناسب ((L9) (34)) برای بررسی تأثیر پارامترها بر جواب الگوریتم ایجاد گردید؛ که در جدول (۵) نشان داده شده است.

محاسبات مربوط به آزمایشات تاگوچی مطابق شکل (۳) و (۴) می‌باشد.



شکل (۳). میانگین جواب‌ها حاصل از نرم‌افزار مینی‌تب برای تنظیم پارامترهای MOPSO



شکل (۴). میانگین نسبت اغتشاشات حاصل از نرم‌افزار مینی‌تب برای تنظیم پارامترهای MOPSO

همان‌طور که در قسمت‌های قبلی توضیح داده شد، بر اساس شکل میانگین جواب‌ها و نسبت اغتشاشات، پارامترهای کنترلی اندازه جمعیت، حداکثر تکرار، ضریب نوستالژی و ضریب هوش جمعی، به ترتیب در سطوح ۱، ۲، ۲ و ۱ قرار گرفتند. پارامترهای کنترلی الگوریتم MOPSO پیشنهادی مطابق جدول (۹) است.

جدول (۹). مقادیر ایدئال تنظیم شده برای الگوریتم MOPSO

MOPSO				
ph2	Ph1	MaxIt	nPop	
۳	۲	۱۵۰	۴۵	

## ۸- پارامترهای عمومی موردنیاز برای حل مسئله

پارامترهای در نظر گرفته شده برای مدل مسئله با مشورت مدیران میانی معاونت آماد و پشتیبانی (سازمان موردمطالعه) انتخاب شده است ولی با توجه به مشکلاتی که در دریافت داده از معاونت مربوطه وجود داشت، داده‌های مورداستفاده در این مسئله فرضی است و نحوه تولید داده‌ها در این تحقیق، تقریباً مشابه

ترتیب در سطوح ۲، ۳، ۳ و ۱ قرار گرفتند. پارامترهای کنترلی الگوریتم ژنتیک چندهدفه پیشنهادی مطابق جدول (۶) است.

جدول (۶). مقادیر ایده‌آل تنظیم شده الگوریتم NSGA-II

NSGA-II			
pm	pc	MaxIt	NPop
۰/۲	۰/۹	۲۰۰	۳۰

## ۷- پارامترهای کنترلی الگوریتم MOPSO

برای تنظیم پارامترهای کنترلی این الگوریتم با مراجعه به تحقیقات پیشین نظری [۲۶]، [۲۷] و [۲۴] و نیز بر اساس روش سعی و خطأ، سطوح مختلف برای پارامترهای الگوریتم ژنتیک چندهدفه مطابق جدول (۷) است.

جدول (۷). پارامترهای احصا شده برای الگوریتم بهینه‌سازی ذرات

پارامترهای الگوریتم		پائین	متوسط	بالا
اندازه جمعیت		۱۵	۳۰	۴۵
ضرایب سرعت	ضریب اینرسی	۱	۲	۳
	ضریب نستالوژی	۱	۲	۳
	ضریب جامعه	۱	۲	۳
تعداد اعضاء مخزن		۴۰	۵۰	۶۰
حداکثر تکرار		۱۵۰	۱۰۰	۲۰۰

سپس با استفاده از طراحی آزمایش‌ها و روش تاگوچی، طرح آزمایشی مناسب (L9) برای بررسی تأثیر پارامترها بر جواب الگوریتم ایجاد گردید؛ که در جدول (۸) نشان داده شده است.

جدول (۸). آرایه L9 برای الگوریتم PSO

ترتیب اجرا	پارامترهای الگوریتم				مقادیر جواب
	nPop	nRep	Ph1	ph2	
۱	۱	۱	۱	۱	۴/۹۹۵۶
۲	۱	۲	۲	۲	۳/۴۳۶۷
۳	۱	۳	۳	۳	۳/۱۸۰۷
۴	۲	۱	۲	۳	۴۱/۰۱۹۶
۵	۲	۲	۳	۱	۶/۶۶۹۴
۶	۲	۳	۱	۲	۲/۹۱۳۱
۷	۳	۱	۳	۲	۳/۱۷۰۱
۸	۳	۲	۱	۳	۹/۳۴۵۷
۹	۳	۳	۲	۱	۳/۷۰۲۴

با توجه به اینکه روش دقیق قادر به بهینه‌سازی همزمان هر دوتابع هدف نمی‌باشد؛ لذا دوتابع هدف با کمک هم‌فاز کردن و با در نظر گرفتن وزن‌های یکسان مطابق رابطه (۲۸) به یک تابع هدف تبدیل شده و درنهایت با اعمال مفروضات مسئله توسط روش‌های NSGA-II، GAMS و MOPSO حل می‌شود. مقادیر توابع هدف در جدول (۱۲) نمایش داده شده است. مقدار انحراف یا اختلاف تابع هدف (جواب) هر الگوریتم پیشنهادی نسبت به حل دقیق از رابطه (۳۰) محاسبه می‌شود:

$$= \text{درصد اختلاف جواب} \quad (30)$$

$$\left| \frac{\text{جواب روش دقیق} - \text{جواب الگوریتم فرالبتکاری}}{\text{جواب روش دقیق}} \right| \times 100$$

و بهمنظور مقایسه زمان حل و بررسی معیار میانگین شکاف بین الگوریتم‌های ژنتیک و بهینه‌سازی ذرات از معادله (۳۱) استفاده می‌شود:

$$= \text{درصد اختلاف جواب} \quad (31)$$

$$\left| \frac{\text{جواب الگوریتم فرالبتکاری NSGA-II} - \text{جواب الگوریتم فرالبتکاری MOPSO}}{\text{جواب الگوریتم فرالبتکاری پرش MOPSO}} \right| \times 100$$

در جدول (۱۲) به تفکیک هر تابع هدف، مقادیر مربوط به دوتابع هدف مذکور، زمان حل و مقدار خطای الگوریتم‌های فرالبتکاری نسبت به حل دقیق GAMS برای هر مسئله آورده شده است. همچنین میزان خطای الگوریتم NSGA-II نسبت به الگوریتم MOPSO نیز محاسبه شده است.

نحوه تولید داده‌ها در تحقیق ترابی و همکاران [۲۲] می‌باشد. پارامترهای موردنیاز برای حل مدل در جدول (۱۰) نشان داده شده است.

جدول (۱۰). پارامترهای موردنیاز برای حل مدل

پارامتر	مقادیر	پارامتر	مقادیر
$\tilde{d}_k$	Ui [1,5]*1000	$R_k$	[0.1, 0.2]
$\tilde{A}_i$	Ui [5,10]*100	$LT_i$	
$\tilde{f}_i$	Ui [3000,5000]	$LT'_i$	Ui[5, 15] + LT
$\tilde{p}_{ik} \ i \in I$	Ui [5,10]	$\pi_{ie}$	U[0.01, 0.05]
$\tilde{p}_{ik} \ i \in j$	Ui [11,15]	$P_s$	U[1, 10]/10
$\tilde{p}'_{ik}$	$\tilde{p}_{ik} + 10$	$\theta_{ie}$	Ui[100, 200]
$\beta_{ieu}$	U [0.01,0.05]	$b_{wk}$	U [1,2]
$RT_{ie}^l$	Ui [1,2]	$n$	4
$M$	.....	$\tilde{h}_{ik}$	Ui [1000,4000]
$CL_{ie}^l$	U [0.6,0.8]	$\tilde{h}_{wk}$	Ui [500,2000]
$b_{ik}$	Ui [2,3]	$Ca_w$	Ui [100,200]*1000
$Sc_i$	Ui [20,80]*1000	$Ca_i$	Ui [1,6]*1000
$FR_{iu}$	Ui [1000,3000]	$a_{ik}$	Ui [20,80]

جدول (۱۱). ابعاد مسائل طراحی شده

تعداد انبارهای شرکت	تعداد حداده	تعداد تأمین‌کننده	تأمین‌ کننده نوع ۱	تأمین کننده	محصول	شماره مسئله
۱	۲	۲		۳	۲	۱
۲	۳	۲		۳	۲	۲
۳	۲	۱		۴	۳	۳
۲	۳	۱		۴	۳	۴
۳	۳	۱		۴	۴	۵
۴	۲	۱		۵	۴	۶
۳	۳	۲		۴	۶	۷
۳	۴	۲		۴	۶	۸
۴	۳	۳		۴	۸	۹
۳	۲	۲		۶	۸	۱۰

## ۹- اعتبارسنجی الگوریتم‌های پیشنهادی

بهمنظور اعتبارسنجی مدل ریاضی برای مسئله طراحی شبکه زنجیره تأمین تاب‌آور، یک مسئله در ابعاد کوچک با روش دقیق (به کمک نرم‌افزار GAMS) حل شد. در ادامه به ساختار الگوریتم‌های چندهدفه ژنتیک و بهینه‌سازی ذرات که برای حل این مسئله پیشنهاد شده است، پرداخته شد. بهمنظور اثبات کارایی الگوریتم فرالبتکاری، نتایج حل الگوریتم NSGA-II و MOPSO با نتایج حل بهوسیله نرم‌افزار GAMS مقایسه می‌شوند. پارامترهای الگوریتم فرالبتکاری مواردی هستند که از محاسبات مربوط به تنظیم پارامترها در جدول (۶) و جدول (۹) و روش سعی و خطای محاسبه شده‌اند. در ادامه بهمنظور اثبات کارایی الگوریتم پیشنهادی، ۵ مسئله طراحی و با روش دقیق و فرالبتکاری حل شده و نتایج مقایسه می‌شوند. اندازه مسائل تأمین‌توزيع اقلام عمومی در جدول (۱۱) نشان داده شده است.

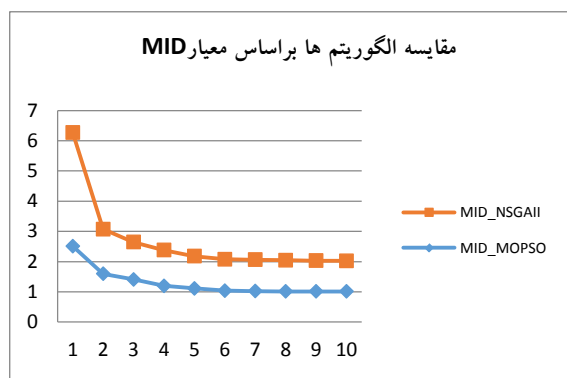
جدول (۱۲): نتایج حاصل از نرم‌افزار GAMS و الگوریتم‌های فرالبتکاری در ابعاد کوچک، متوسط و بزرگ

متوجه درصد خطای MOPSO در هر مسئله	متوجه درصد خطای NSGA-II در هر مسئله	متوجه درصد خطای NSGA-II نسبت به MOPSO	MOPSO			NSGA-II			GAMS			تابع هدف تایپ k/v/i/e/w	مسئله مسئله شماره	
			زمان حل (ثانیه)	درصد خطا	مقدار تابع هدف	زمان حل (ثانیه)	درصد خطای تابع هدف	مقدار تابع هدف	زمان حل (ثانیه)	درصد خطای تابع هدف	مقدار تابع هدف			
۸	۲/۲۰	۱/۱۹	۳۰/۴۳۱	۱/۰۶	۷۲۵۶	۳۶/۷۲۲	۲/۲۶	۷۳۴۲,۰۰	۲۶/۳۵۲	۷۱۸۰	$F_1$	$2 \times 3 \times 2 \times 2 \times 1$	۱	
		۱/۵۳		۰/۶۱	۲۱۵۶		۲/۱۵	۲۱۸۹		۲۱۴۳	$F_2$			
۴/۴۸	۱/۴۷	۱/۸۴	۶۱/۷۷۳	۲/۱۵	۳۴۱۵۱	۱۰۱/۸۱۵	۰/۲۷	۳۳۵۲۱	۵۹/۳۶۵	۳۳۴۳۲	$F_1$	$2 \times 3 \times 2 \times 3 \times 2$	۲	
		۳/۸۸		۶/۸۲	۴۸۷۴		۲/۶۷	۴۶۸۵		۴۵۶۳	$F_2$			
۴/۵۴	۳/۴۵	۱/۹۳	۸۳/۸۱۸	۰/۸۳	۴۸۶۲۳	۱۲۳/۵۳۹	۲/۷۸	۴۹۵۶۳	۱۰۱/۲۵۴	۴۸۲۲۲	$F_1$	$3 \times 4 \times 1 \times 2 \times 3$	۳	
		۳/۸۱		۸/۲۴	۶۸۴۵		۴/۱۱	۶۵۸۴		۶۳۲۴	$F_2$			
۲/۹۰	۳/۰۹	۲/۲۱	۱۱۱/۶۷۸	۱/۴۵	۴۷۶۹۸	۲۰۲/۹۱۵	۳/۶۹	۴۸۷۵۲	۵۲۳/۶۹۸	۴۷۰۱۶	$F_1$	$3 \times 4 \times 1 \times 3 \times 2$	۴	
		۱/۷۸		۴/۳۵	۹۱۲۵		۲/۴۹	۸۹۶۳		۸۷۴۵	$F_2$			
۱/۹۵	۱/۷۷	۰/۵۲	۲۴۹/۱۵۹	۰/۰۸	۵۲۱۸۷	۴۴۸/۷۵۳	۰/۶	۵۲۴۵۶	۱۵۲۳/۳۶۹	۵۲۱۴۵	$F_1$	$4 \times 4 \times 1 \times 3 \times 3$	۵	
		۰/۱۸۴		۳/۸۲	۱۱۹۶۳		۲/۹۵	۱۱۸۶۳		۱۱۵۲۳	$F_2$			
۳/۴۹	+۰/۳۸	۱/۱۴	۳۸۶/۱۶	۰/۹۸	۸۲۳۶۵	۷۷۸/۹۷۷	۲/۱۱-	۸۳۲۴۷	۲۵۳۶/۳۵۲	۹۹۳۴۰	$F_1$	$4 \times 5 \times 1 \times 2 \times 4$	۶	
		۸/۱۳		۷/۷۶	۱۶۳۲۵		۱/۳۴	۱۵۳۲۴		۱۵۱۲۱	$F_2$			
.....	.....	۰/۵۸	۵۵۰/۲۴۱	.....	۱۰۰۲۵۶	۱۰۹۳/۶۹	.....	۹۹۶۷۴	.....	.....	$F_1$	$6 \times 4 \times 2 \times 3 \times 3$	۷	
		۴/۴۷		.....	۲۲۲۶۵		.....	۲۱۳۶۵		.....	$F_2$			
.....	.....	۱/۱۷	۷۴۰/۵۲۳	.....	۱۲۳۵۴۲	۱۴۹۴/۴۱	.....	۱۲۴۹۸۵	.....	.....	$F_1$	$6 \times 4 \times 2 \times 4 \times 3$	۸	
		۴/۱۶		.....	۳۱۲۴۷		.....	۳۲۵۴۶		.....	$F_2$			
.....	.....	۰/۵۲	۹۰۹/۴۱	.....	۱۹۶۳۲۸	۱۷۶۷/۴۷	.....	۱۹۵۳۰۱	.....	.....	$F_1$	$8 \times 4 \times 3 \times 3 \times 4$	۹	
		۳/۲۱		.....	۴۱۲۳۸		.....	۴۲۵۶۲		.....	$F_2$			
.....	.....	۰/۳۳	۱۱۵۱/۴۸۶۰	.....	۲۰۱۱۸۷	۱۹۰۵/۴۲	.....	۲۰۱۸۵۶	.....	.....	$F_1$	$8 \times 6 \times 2 \times 2 \times 3$	۱۰	
		۰/۳۶		.....	۶۱۸۹۰		.....	۶۲۱۱۱		.....	$F_2$			
۲/۹۴	۲/۴۰	۲/۰۸												

جدول (۱۳). زمان حل مسائل نمونه در روش فرالبتکاری و دقیق

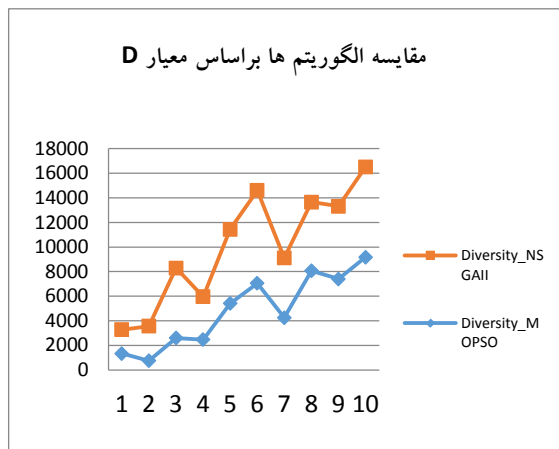
MOPSO	NSGA-II	GAMS	شماره مسئله
۳۰/۴۳۱	۳۶/۷۲۳	۲۶/۳۵۲	۱
۶۱/۷۷۳	۱۰۱/۸۱۶	۵۹/۳۶۵	۲
۸۳/۸۱۸	۱۲۳/۵۳۹	۱۰۱/۲۵۴	۳
۱۱۱/۶۷۸	۲۰۲/۹۱۵	۵۲۳/۶۹۸	۴
۲۴۹/۱۵۹	۴۴۸/۷۵۴	۱۵۲۳/۳۶۹	۵
۳۸۶/۱۶	۷۷۸/۹۷۷	۲۵۳۶/۳۵۲	۶

با توجه به نتایج جدول (۱۲) مقادیر حاصل از الگوریتم NSGA-II به مقادیر GAMS نزدیکتر است. همچنین با توجه به پارامترهای ورودی و با گسترش ابعاد مسئله، مقدار هزینه‌ها افزایش می‌یابد. افزایش تابع هزینه باعث کاهش تابع هزینه تاب آوری و در نتیجه باعث افزایش تاب آوری می‌شود. همان‌طور که نتایج نشان می‌دهد با گسترش ابعاد مسئله زمان حل دقیق به صورت نمایی افزایش می‌یابد اما این تغییر برای الگوریتم‌های فرالبتکاری مورداستفاده روند خطی و منظمی را طی می‌کند. در جدول (۱۳) و نمودار (۱) زمان رسیدن به جواب در ۵ مسئله اول (به تفکیک روش‌های حل) نشان داده شده است.

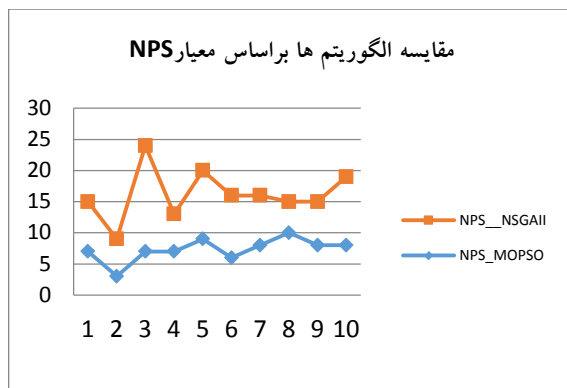


نمودار (۳). نمودار گرافیکی مقایسه الگوریتم‌های NSGA-II و MOPSO بر اساس معیار MID

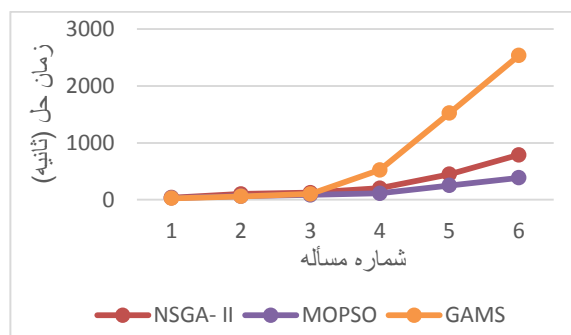
از مقایسه الگوریتم‌ها در مدل LAM، الگوریتم MOPSO بر اساس معیار Time و Spacing از مطلوبیت بالاتری برخوردار است.



نمودار (۴). نمودار گرافیکی مقایسه الگوریتم‌های NSGA-II و MOPSO بر اساس معیار D



نمودار (۵). نمودار گرافیکی مقایسه الگوریتم‌های NSGA-II و MOPSO بر اساس معیار NPS



نمودار (۱). نمایش مقایسه‌ای زمان حل مسائل نمونه با روش فرالبتکاری و دقیق

#### ۱۰- شاخص‌های مقایسه‌ای الگوریتم‌های چندهدفه [۲۸]

برای ارزیابی عملکرد الگوریتم‌های فرالبتکاری چندهدفه دو دسته شاخص اندازه‌گیری اصلی وجود دارد: ۱) شاخص‌های همگرایی (۲) شاخص‌های پراکندگی. در این تحقیق برای انجام مقایسه، از پنج شاخص که ترکیبی از شاخص‌های هر دو دسته اصلی می‌باشد، معرفی شده است. معیارهای دسته اول شامل تعداد جواب پارتو، فاصله از جواب ایدئال و معیارهای مربوط به دسته دوم شامل فاصله‌گذاری، بیشترین گسترش و همچنین معیار زمان احرای الگوریتم برای مقایسه نیازمندی‌های محاسباتی است. در این پژوهش از این شاخص‌ها برای انجام مقایسه بین الگوریتم زنتیک چندهدفه با مرتبسازی غیرمغلوب و الگوریتم بهینه‌سازی چندهدفه با مرتبسازی غیرمغلوب استفاده خواهد شد. لازم به ذکر است که نمودارهای (۲) تا (۵) عملکرد الگوریتم‌های فرالبتکاری را در مدل دفارزی شده در حالت بدینانه (LAM) و جدول (۱۴) عملکرد الگوریتم‌ها را در حالت خوش‌بینانه (UAM) مورد مقایسه قرار می‌دهد.

در مدل LAM از مقایسه الگوریتم‌ها، الگوریتم NSGA-II بر اساس معیار NPS و Diversity از مطلوبیت بالاتری برخوردار است.



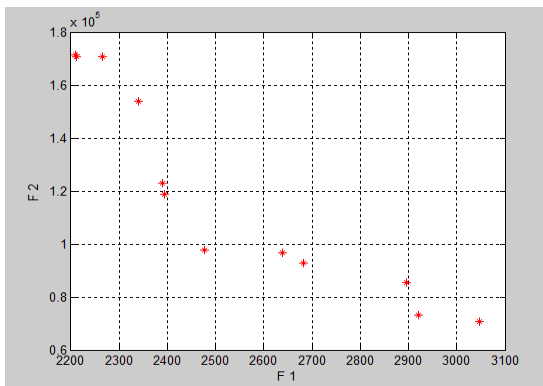
نمودار (۲). نمودار مقایسه الگوریتم‌های NSGA-II و MOPSO بر اساس معیار S

جدول (۱۴). مقادیر الگوریتم‌های ژنتیک و بهینه‌سازی ذرات به ازای شاخص‌های مقایسه‌ای

MOPSO						NSGA-II						تابع هدف	اندازه مسئله k/v/I/e/w	محصول	شماره مسئله
T (s)	NPS	Spacing	MD	MID	مقدار تابع هدف	T (s)	NPS	Spacing	MD	MID	مقدار تابع هدف				
۲۵/۲۳	۱۵	* ۱/۰۱۸۶	۲۵۹/۳۶	۱/۰۷۵۲	۴۸۱۷۴ ۹۲۲۱ ۰/۷۸	* ۱۲/۹۷	۱۰	۱/۱۰۳۳	* ۷۰۳/۸۲	* ۱/۰۲۳۲	۴۷۰۱۶ ۸۷۴۵ ۰/۸۵	$F_1$ $F_2$ RE	3×4×1×3×2	تلوزیون	۱
۲۴/۸۶	۱۲	* ۱/۰۷۶۸	۲۵۲/۲۷	۱/۰۴۴۹	۴۹۲۲۱ ۸۹۶۲ ۰/۸۲	* ۱۳/۰۱	۱۴	۱/۶۱۶	* ۹۷۷/۳۳	* ۱/۰۲۸	۴۸۱۲۳ ۸۲۵۴ ۰/۸۳	$F_1$ $F_2$ RE	3×4×1×3×2	تلوزیون	۲
۲۴/۹۶	۷	۱/۰۹۵۲	۱۲۱/۷۸	* ۱/۰۲۷	۴۸۹۸۷ ۸۴۵۶ ۰/۸۴	* ۱۲/۹۰	۱۰	* ۰/۹۹۶۴۹	* ۴۱۳/۴۱	۱/۰۷۵۴	۴۹۸۵۶ ۷۹۸۸ ۰/۹۱	$F_1$ $F_2$ RE	3×4×1×3×2	تلوزیون	۳
۲۴/۹۹۸	۸	* ۰/۸۹۴۴	۱۵۶/۶۹	* ۱/۰۲۶	۴۸۵۱۲ ۹۳۸۴ ۰/۷۶	* ۱۳/۰۲	۱۸	۱/۱۵۳۴	* ۸۷۹/۱۳	۱/۰۳۲۹	۴۸۲۱۴ ۸۷۹۲ ۰/۷۹	$F_1$ $F_2$ RE	3×4×1×3×2	تلوزیون	۴
۲۴/۸۸	۱۱	۱/۰۸۵۹	۱۶۸/۸۸	۱/۲۸۶	۴۹۳۶۹ ۹۴۲۱ ۰/۷۵	* ۱۲/۹۸	۱۲	* ۰/۹۹۰۵	* ۳۹۲/۳۲	۱/۲۰۱	۴۸۹۶۳ ۸۰۱۲ ۰/۸۷	$F_1$ $F_2$ RE	3×4×1×3×2	تلوزیون	۵
۲۴/۸۴	۵	* ۰/۹۰۹۲	۱۲۰/۰۸	۱/۰۵۸۱	۴۸۳۶۵ ۹۶۸۷ ۰/۷۳	* ۱۲/۹۸	۱۴	۱/۲۰۱۳	* ۴۴۴/۱۶	۱/۰۱۶۴	۴۹۲۵۶ ۸۶۵۴ ۰/۸۸	$F_1$ $F_2$ RE	3×4×1×3×2	تلوزیون	۶

الگوریتم پرش ژنتیک چندهدفه، سطحی از جبهه نامغلوب جواب

نهایی مسئله مذکور به دست می‌آید که در شکل (۵) نشان داده شده است:

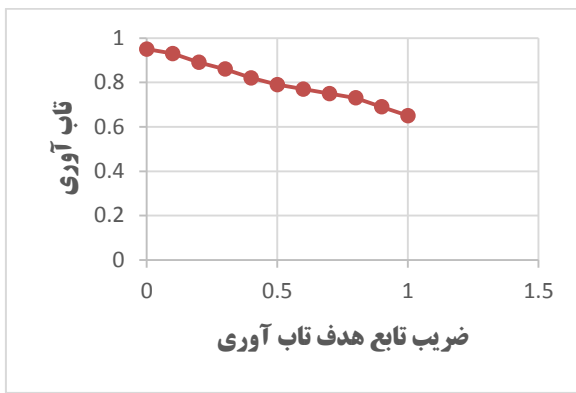


شکل (۵). جبهه نامغلوب جواب نهایی مسئله ۵ با ابعاد  $5 \times 4 \times 1 \times 3 \times 2$  توسط الگوریتم ژنتیک

### ۱۱- تحلیل حساسیت روش ضرایب توابع هدف

همان‌طور که قبلاً هم اشاره شد یکی از روش‌هایی که مسئله را با آن تحلیل کردیم استفاده از روش دقیق گمز بود. برای تمام حالات حل مدل با روش دقیق مقدار ضریب هر سه تابع هدف را

با توجه به حل مدل UAM و ارزیابی جدول (۱۴) مفاهیمی استنباط می‌شود که در تمامی مسائل از نظر زمان حل، الگوریتم ژنتیک عملکرد بهتری داشته است. در مسئله پنجم با توجه شاخص‌های مقایسه‌ای، الگوریتم ژنتیک عملکرد بهتری از خود نشان داده است. از نظر معیار گستردگی فضای جواب (MD) در تمام مسائل الگوریتم ژنتیک عملکرد بهتری داشته است. از نظر معیار تعداد جواب‌های پارتو (NPS) به غیر از مسئله اول در سایر مسائل الگوریتم ژنتیک عملکرد بهتری داشته است. با توجه به جدول (۱۴) و برتر بودن الگوریتم ژنتیک، با تنظیم پارامترهای این الگوریتم و با استفاده از داده‌های فرضی ایجاد شده برای مسئله ۵ اقدام به حل بهینه برای این مسئله می‌کنیم. ابتدا این مقادیر پارامترها را وارد الگوریتم کرده و سپس داده‌های فوق را به عنوان داده‌های مسئله نمونه وارد می‌کنیم. پس از اجرای الگوریتم، جمعیت اولیه مطابق آنچه شرح داده شد تولید می‌شود و نسل‌های جدید جواب هم مطابق قوانین الگوریتم NSGA-II و آنچه تشریح شد، تولید می‌شود و در هر مرحله، برازنده‌گی جواب‌ها محاسبه شده و با هم مقایسه می‌شوند. با توجه به جدول (۴)، برای مسئله ۵، تعداد جمعیت اولیه الگوریتم ژنتیک ۲۵ و حداکثر تکرار ۱۵۰ در نظر گرفته شده است. پس از اجرای



نمودار (۶). اثر افزایش ضریب تابع هدف تابآوری روی مقدار تابآوری

## ۱۲- نتیجه‌گیری

مسئله موردبررسی از دنیای واقعی با پارامترهای فازی مدل‌سازی شده و سپس بهوسیله الگوریتم‌های چندهدفه بهینه‌سازی ذرات و ژنتیک اجرا گردید. ابتدا در فاز اول به تعیین اوزان تأمین‌کنندگان و سپس به رتبه‌بندی آن‌ها پرداخته و داده‌های خروجی موردنظر، در فاز دوم به عنوان ورودی مدل ریاضی پیشنهادی در نظر گرفته شد. برای مقایسه نتایج حاصل از الگوریتم NSGA-II و MOPSO با کمک شاخص‌های مقایسه‌ای، ابتدا به کمک نرم‌افزار مینی‌تب مقادیر پارامترهای کنترلی تعیین شد، سپس چند نمونه مسئله از دنیای واقعی در این زمینه حل شد. نتایج حاصل از مقایسه این الگوریتم‌ها بیانگر این امر است که در مدل UAM (که حالت‌های خوشبینانه را در نظر می‌گیرد) الگوریتم ژنتیک عملکرد بهتری دارد و در مدل LAM (که حالت‌های بدبینانه را در نظر می‌گیرد)، الگوریتم MOPSO عملکرد بهتری ارائه می‌دهد. نتایج حاصل از الگوریتم NSGA-II و MOPSO برای مسئله نمونه طراحی شده، نشان می‌دهد که الگوریتم NSGA-II در معیارهای مختلف، بهتر از الگوریتم MOPSO عمل کرده است. بهطور نمونه در زمان حل و معیار فاصله از نقطه ایدئال، در تمام مسائل عملکرد بهتری نسبت به الگوریتم دیگر دارد. همچنین در این تحقیق، با تحلیل حساسیت تابع هدف هزینه (عقد قرارداد، خرید و انتقال از تأمین‌کنندگان عده و اصلی) و نیز تابع هدف استفاده از تأمین‌کنندگان پشتیبان و ذخیره موجودی اضطراری، راهکارهای مدیریتی توصیه گردید. با توجه به این نتایج، مدیران می‌توانند افزایش هزینه‌های ناشی از افزایش تابآوری را موازن نموده و رویکرد مناسب تابآوری را اتخاذ کنند.

یکسان و برابر ۰,۵ در نظر گرفتیم. حال فرض کنید توابع هدف تابآوری برای مدیریت سازمان از اهمیت بالاتری برخوردار باشد. از این‌رو در هر بار حل مدل، ضرایب تابع هدف دوم را افزایش می‌دهیم و با استفاده از نتایج، نقش تابآوری را بر روی هزینه‌ها بررسی می‌کنیم که در جدول (۱۵) نشان داده شده است. مطابق جدول (۱۵)، افزایش تابآوری شبکه تأمین (ستون ماقبل آخر) مستلزم افزایش هزینه (ضرایب ستون سوم) و کاهش استفاده از تأمین‌کنندگان پشتیبان و ذخیره موجودی اضطراری (ضرایب ستون چهارم) است. به عنوان نمونه ردیف ۴ جدول (۱۵) نشان می‌دهد که برای ایجاد حداقل ۸۶ درصد تابآوری شبکه تأمین، می‌توان تا ۳۰ درصد استفاده از اقلام تأمین‌کنندگان پشتیبان و ذخیره موجودی اضطراری را کاهش داد و در عوض تا ۷۰ درصد هزینه‌های ثابت عقد قرارداد، خرید و انتقال از تأمین‌کنندگان عده و اصلی را افزایش داد. همچنان ردیف ۸ نشان می‌دهد چنانچه توقع مدیران در مورد تابآوری شبکه تأمین، از ۸۶ درصد به ۷۵ درصد تقلیل یابد، می‌توان استفاده از اقلام تأمین‌کنندگان پشتیبان و ذخیره موجودی اضطراری را تا ۷۰ درصد افزایش داد و هزینه‌های ثابت عقد قرارداد، خرید و انتقال از تأمین‌کنندگان عده و اصلی را به ۳۰ درصد کاهش داد.

جدول (۱۵). تحلیل حساسیت

T (s)	تابآوری RE	هدف (۲)	هدف (۱)	ضریب تابع هدف تابآوری	ضریب تابع هدف هزینه	ردیف	مسئله
۱۰۳/۵۵	۰/۹۵	۸۰۱۲	۴۸۹۶۳	۰	۱	۵	۵
۶۸/۳۵	۰/۹۳	۸۱۲۴	۴۹۳۶۸	۰/۱	۰/۹		
۸۰/۸۳	۰/۸۹	۸۴۴۵	۴۹۷۹۶	۰/۲	۰/۸		
۵۸/۸۷	۰/۸۶	۸۷۵۲	۵۰۲۲۱	۰/۳	۰/۷		
۴۷/۷۵	۸۲	۸۹۳۷	۵۰۶۳۲	۰/۴	۰/۶		
۸۰/۳۰	۰/۷۹	۹۱۲۸	۵۰۹۶۳	۰/۵	۰/۵		
۹۰/۶۵	۰/۷۷	۹۳۵۴	۵۱۴۷۵	۰/۶	۰/۴		
۵۳/۴۵	۰/۷۵	۹۶۸۷	۵۱۶۶۹	۰/۷	۰/۳		
۷۵/۸۷	۰/۷۳	۹۸۶۳	۵۲۱۲۸	۰/۸	۰/۲		
۶۲/۰۸	۰/۶۹	۱۰۲۵۱	۵۲۴۸۵	۰/۹	۰/۱		
۶۴/۶۷	۰/۶۵	۱۰۵۴۲	۵۲۷۸۹	۱	۰		

## ۱۲- منابع

- [12] M. Farshbaf Granmayeh, M. Rabbani, and N. Manavizadeh, "Multi-objective design of supply chain taking into account the risk of disruption of facilities, supply and demand in the uncertainty of economic parameters," *Journal of Industrial Management Studies*, vol. 13(37), pp. 5-34, 1394. (In Persian)
- [13] S. M. Hatefi and F. July, "Design of reliable and stable inverse direct logistics networks in conditions of uncertainty," PhD Thesis, University of Tehran, 2013. (In Persian)
- [14] S. Khalili, F. Jolai, and S. A. Torabi, "In Integrated production-distribution planning two-echelon systems: a resilience view," *International Journal of Production Research*, vol. 55(4), 2017.
- [15] S. A. Torabi, M. Baghersad, and S. Mansouri, "Resilient supplier selection and order allocation under operational and disruption risks," *Transportation Research Part E*, vol. 79, pp. 22-48, 2015.
- [16] N. Shojaei and S. J. Sajjadi, "Presenting a stable and elastic supply chain model under conditions of risk uncertainty and disruption," Iran University of Science and Technology-Master Thesis, Tehran, 2014. (In Persian)
- [17] A. Khalili Nasr, M. Tavana, B. Alavi, and H. Mina, "A novel fuzzy multi-objective circular supplier selection and order allocation model for sustainable closed-loop supply chains," *Journal of Cleaner Production*, vol. 287, 2021.
- [18] S. M. Hosseini, N. Morshedlou, D. Ivanov, M. D. Sarder, K. Barker, and A. A. Khaled, "Resilient supplier selection and optimal order allocation under disruption risks," *International Journal of Production Economics*, vol. 213, pp. 124-137, 2019.
- [19] E. Esmaeili-Najafabadi, N. Azad, and M. S. Fallah Nezhad, "Risk-averse supplier selection and order allocation in the centralized supply chains under disruption risks," *Expert Systems with Applications*, vol. 175, 2021.
- [20] F. Firouzia and O. Jadidi, "Multi-objective model for supplier selection and order allocation problem with fuzzy parameters," *Expert Systems with Applications*, vol. 180, pp. 115-121, 2021.
- [21] J. Xu and X. Zhou, "Approximation based fuzzy multi-objective models with expected objectives & chance constraints," Application to earth-rock work allocation," *Inf. Sci.*, vol. 238, pp. 75-95, 2013.
- [22] S. Khalili, F. Jolai, S. A. Torabi, "In Integrated production-distribution planning two-echelon
- [1] S.M. Hatefi and F. July, "Design of reliable and stable direct reverse inbound networks in conditions of uncertainty," PhD Thesis, University of Tehran, 2013. (In Persian)
- [2] R. ghesmati and M. S. pishvahy, "Supply chain network design with simultaneous consideration of reliability and stability under conditions of uncertainty and disruption risk," M.Sc. Thesis, Iran University of Science and Technology, 2014. (In Persian)
- [3] S. Chopra, "Designing the distribution network in a supply chain," *Transp. Res.*, vol. 39, pp. 123-140, 2003.
- [4] S. A. Torabi, M. Baghersad, and S. Mansouri, "Resilient supplier selection and order allocation under operational and disruption risks," *Transportation Research Part E*, vol. 79, pp. 22-48, 2015.
- [5] M. S. Pishvae and R. Zanjirani Farahani, "A model for integrated design of direct and reverse logistics network in a supply chain of master's thesis," Master's thesis-Amirkabir University, Tehran, 2008.
- [6] B. E A. Wafa, et al., "Supply chain optimization of petroleum organization under uncertainty in market demands and prices," *European Journal of Operational Research*, vol. 189, no. 3, pp. 822-840, 2008.
- [7] B. S. R, A. P. B.-P. Leão José Fernandes, "Downstream Petroleum Supply Chain Planning under Uncertainty," *Computer Aided Chemical Engineering*, vol. 37, pp. 1889-1894, 2015.
- [8] A. Hasani, S. H. Zegordi and E. Nikbakhsh, "Robust closed-loop supply chain network design for perishable goods in agile manufacturing under uncertainty," *International Journal of Production Research*, vol. 50, no. 16, pp. 4649-4669, 2012.
- [9] A. Jabbarzadeh, B. Fahimnia, "Marrying supply chain sustainability and resilience: A match made in heaven," *Transportation Research Part E: Logistics and Transportation Review*, vol. 91, pp. 306-324, 2016.
- [10] Y. Kristianto, et al., "A model of resilient supply chain network design: A two-stage programming with fuzzy shortest path," *Expert Systems with Applications*, vol. 41, pp. 39-49, 2014.
- [11] M. S. Pishvae, S.A. Torabi, and J. Razmi, "Credibility-based fuzzy mathematical programming model for green logistics design under uncertainty," *Comput. Ind. Eng.*, vol. 62, pp. 624-632, 2012.

- [26] S. H. Amin and G. Zhang, "A multi-objective facility location model for closed-loop supply chain network under uncertain demand and return," *Applied Mathematical Modelling*, vol. 37(6), pp. 4165-4176, 2013.
- [27] E. R. Kennedy, "Particle Swarm Optimization," *IEEE Transactions On*, vol. 8, no. 3, pp. 1942-1948, 1995.
- [28] M. Zareei and H. A. Hassanpour, "Time-Cost Balance to Maximize Contractor's Current Net Value with Fee and Resource Constraint Patterns Using Evolutionary Algorithms (Case Study: Limited Part of Bandar Abbas Gas Condensate Refinery Construction Project)," *Industrial Management, Faculty of Management, University of Tehran*, Vol. 1(7), pp. 41-19, 2015. (In Persian)
- systems: a resilience view," *International Journal of Production Research*, 2016.
- [23] F. Chan, T. A. Jha, and M. K. Tiwari, "Bi-Objective Optimization of Three Echelon Supply Chain involving Truck Selection and Loading using NSGA-II with Heuristics algorithm," *Applied Soft Computing*, vol. 38, pp. 978-987, 2016.
- [24] M. Notash, M. Zandieh, B. Dari, "Multi-objective design of supply chain network with the approach of genetic algorithm," *Management Research in Iran*, vol. 4(18), p. 183, 2014. (In Persian)
- [25] S. Moghaddam, "Introduction to communication management system with SRM suppliers in Sash," *Samen Asr Communication Company, Tehran*, 2017. (In Persian)

## **Providing a Combined Model of Supplier Selection and Order Allocation in Random Uncertainty Conditions and Solution with the Robust Fuzzy Optimization Approach (Case Study: Isar General Commodities Company)**

**H. A. Hassanpour\*, H. Ghaffari Turan, M. Zareei, A. Mohammadi**

\*Assistant Professor, Department of Industrial and Logistics Engineering, Faculty of Engineering, Imam Hossein Comprehensive University, Tehran, Iran

(Received: 28/01/2021; Accepted: 05/09/2021)

### **Abstract**

*The purpose of this research is to present a two-objective nonlinear integer programming model for optimization of a general commodities supply chain, minimizing the purchase costs and delivery delays and maximizing the resilience with uncertain constraints and parameters of the objective functions. To solve the model, the weights of relevant metrics and sub-criteria for producers are obtained through multi-criteria decision making. These metrics are used as the input data to the proposed mathematical model. Since this is classified as a hybrid optimization problem in the NP-hard problem family, NSGA-II and MOPSO multi-objective evolutionary algorithms are used to solve the proposed model. Comparing the results of the algorithm is done with the help of comparative indices. In this study, the probability constraint programming is used for the fuzzy to deterministic conversion of models. This method fits the LAM and UAM estimation models appropriately to the pessimistic-optimistic changes due to the differences in the decision makers' attitudes. Results of comparing these algorithms indicate that the genetic algorithm performs better in the optimistic view, whilst the MOPSO algorithm performs better in the pessimistic case. The results of NSGA-II and MOPSO algorithm for the designed sample problem show that NSGA-II algorithm performs better than MOPSO algorithm in different criteria. For instance, better performance regarding the solution time and the criterion of the distance from the ideal point, is observed in all problems.*

**Keywords:** Resilient Supply Chain, Random uncertainty, Robust Fuzzy Optimization, NSGA-II, MOSPO, Comparative Indicators

---

\*Corresponding Author E-mail: hahassan@ihu.ac.ir